

姓 名 _____

准考证号 _____

绝密★启用前

湘豫名校联考

2023年9月高三一轮复习诊断考试(一)

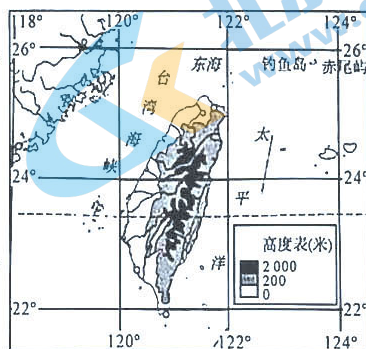
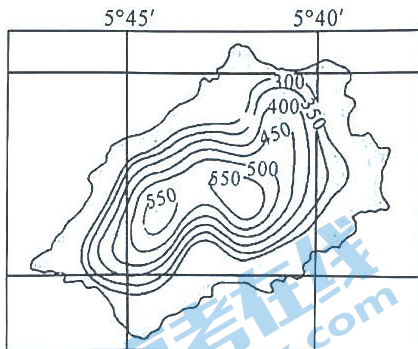
地 理

注意事项:

1. 本试卷共8页。时间90分钟,满分100分。答题前,考生先将自己的姓名、准考证号填写在试卷指定位置,并将姓名、考场号、座位号、准考证号填写在答题卡上,然后认真核对条形码上的信息,并将条形码粘贴在答题卡上的指定位置。
2. 作答选择题时,选出每小题答案后,用2B铅笔把答题卡上对应题目的答案标号涂黑。如需改动,用橡皮擦干净后,再选涂其他答案标号。作答非选择题时,将答案写在答题卡上对应的答题区域内。写在本试卷上无效。
3. 考试结束后,将试卷和答题卡一并收回。

一、选择题:共22小题,每小题2分,共44分。在每小题给出的四个选项中,只有一项是最符合题目要求的。

台湾岛是我国最大的岛屿,下面为圣赫勒拿岛和台湾岛区域图。据此完成1~2题。



1. 圣赫勒拿岛面积最接近

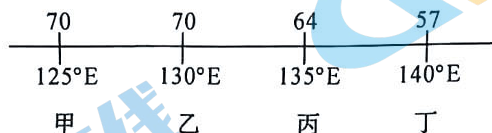
- A. 1.2 平方千米
- C. 120 平方千米

- B. 12 平方千米
- D. 1 200 平方千米

2. 由台湾岛到圣赫勒拿岛最短航线的飞行方向是

- A. 一直向东北飞
- B. 先东北, 后西南
- C. 一直向西南飞
- D. 先西北, 后东南

潮汐是海水的周期性涨落现象, 同一海域每天有 2 次高潮位和 2 次低潮位。下图显示 2023 年 3 月某日 8 时 50 分 30°N 纬线不同经度海域的潮位(由东向西涌动)高度(单位: cm)。据此完成 3~4 题。



3. 目前甲海域不适合

- A. 赶海活动
- B. 船舶进港
- C. 观潮活动
- D. 海水垂钓

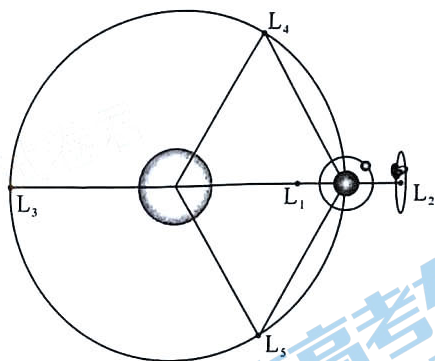
4. 丁海域最近一次最高潮位发生的时间约为

- A. 7:30
- B. 8:00
- C. 8:50
- D. 9:40

拉格朗日点是重力稳定点, 在这里航天器或多或少可以“停留”, 并且可以在不消耗过多燃料的情况下保持同样的相对位置。

2022 年 1 月 24 日, 美国发射的韦伯太空望远镜顺利进入围绕日地系统第二拉格朗日点的运行轨道, 韦伯太空望远镜在此点运行时其镜面和传感器始终背向太阳, 与地球同步绕太阳运行。

上面为韦伯太空望远镜位置示意图(图中的 L_1 、 L_2 、 L_3 、 L_4 、 L_5 均为拉格朗日点)。据此完成 5~6 题。



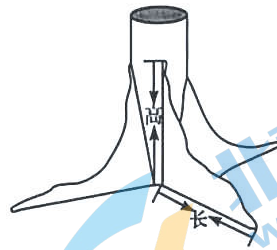
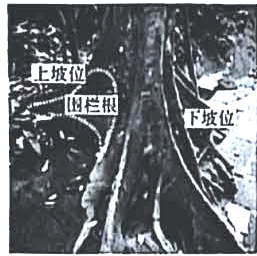
5. 当韦伯太空望远镜在 L_2 点运行时, 其所在最低级别的天体系统为

- A. 地月系
- B. 太阳系
- C. 银河系
- D. 河外星系

6. 韦伯太空望远镜在 L_2 点相对其他拉格朗日点的主要优势是

- A. 节省更多燃料
- B. 不受太阳活动影响
- C. 观测范围更广
- D. 利于保持低温运行

板根是热带雨林的典型特征之一, 板根除了对树木有支撑作用, 在维护热带雨林的生态功能方面也发挥着重要作用。在坡地上, 朝向海拔高处为板根上坡位、朝向海拔低处为板根下坡位。下面为板根景观图和示意图。据此完成 7~9 题。



7. 热带雨林地区板根长和高取决于

- A. 乔木直径 B. 地形坡度 C. 土壤肥力 D. 降水强度

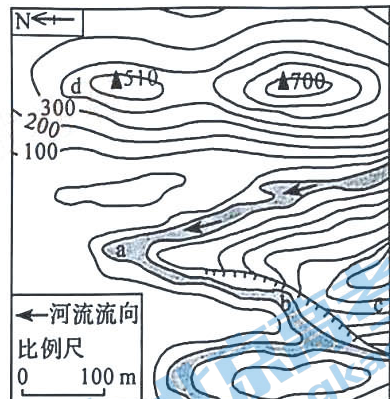
8. 板根上坡位土壤肥力高于下坡位的原因是板根上坡位

- A. 枯枝落叶多 B. 截留作用强
C. 土层发育厚 D. 板根吸收能力强

9. 热带雨林板根的生态功能表现在

- A. 扩大其他植物的生存空间 B. 增加了热带雨林的种类
C. 减少根系对土壤养分吸收 D. 提升了雨林系统稳定性

右面为某地等高线地形图,其中两山峰之间计划建设一游览索道。据此完成 10~11 题。



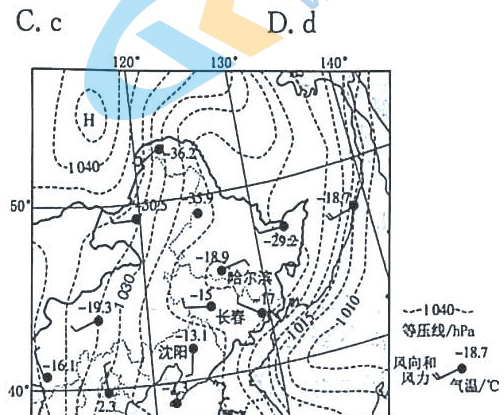
10. 图示地区

- A. 山峰之间索道不超过 100 米
B. 河流 ab 段向东南方向流动
C. 陡崖相对高度可能超过 500 米
D. 水土流失现象比较严重

11. 站在最高山峰上能够看到

- A. a B. b

右面为我国东北地区某时刻的等压线分布与天气形势图。据此完成 12~13 题。



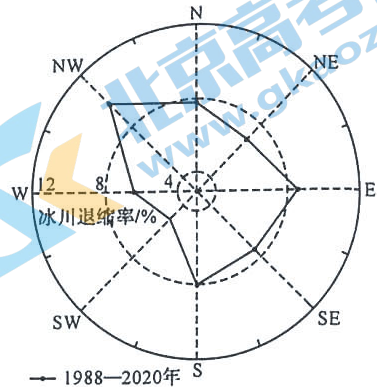
12. 此时哈尔滨的气压值最可能为

- A. 1 020 B. 1 021
C. 1 022.8 D. 1 024

13. 此时哈尔滨的天气最可能为

- A. 东北风强劲 B. 暖风拂面 C. 沙尘暴严重 D. 冰天雪地

普若岗日冰原位于青藏高原中部,是中低纬度面积最大的冰原,其冰川底线海拔5 300 m,最高峰海拔6 482 m,靠近冰原的很多湖泊存在终年不结冰的现象。右图为1988—2020年普若岗日冰原不同坡向冰川退缩率差异。据此完成14~15题。



14. 导致普若岗日冰原附近很多湖泊存在终年不结冰现象的主要原因是

- A. 地热资源丰富 B. 多阴雨天气
C. 空气中杂质较多 D. 海拔低气温高

15. 1988—2020年普若岗日冰原冰川面积变化最大的区域的海拔范围、冰原退缩率最大的坡向与退缩率最小的坡向的夹角分别为

- A. 5 300 m~5 600 m 90° B. 5 600 m~5 900 m 90°
C. 5 900 m~6 100 m 135° D. 6 100 m~6 482 m 135°

落户意愿是指流动人口如果符合流入地的落户条件,愿意将户口迁入该地。我国不同城市落户意愿差异较大。近年来,随着户籍制度改革,我国流动人口总体落户意愿明显降低。下面为我国部分城市落户意愿与城市规模统计表。据此完成16~18题。

落户意愿及城市规模	典型城市	落户意愿(%)		城市规模(万人)	
		2012年	2017年	2012年	2017年
高意愿超大城市	北京	79.03	78.20	1 784	1 877
	上海	80.66	74.26	2 380	2 418
	深圳	58.94	53.28	1 055	1 253
	广州	56.13	50.23	1 015	1 185
低意愿超大城市	重庆	34.98	34.51	1 118	1 500
高意愿超小城市	中卫	87.66	73.42	21	19
	酒泉	76.88	59.38	35	39
	克拉玛依	86.43	51.25	36	42

16. 影响表中城市落户意愿整体降低的因素是

- A. 经济增长水平 B. 城市人口规模
C. 户籍价值变化 D. 落户政策变化

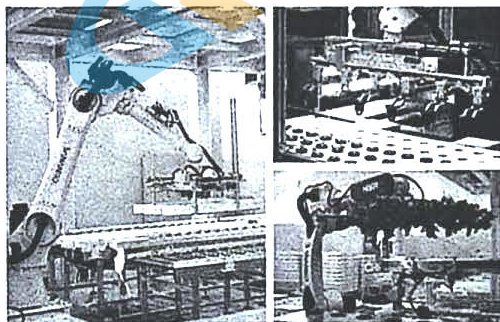
17. 在超大城市中,重庆落户意愿最低,这会导致

- A. 城镇人口规模持续减小
- B. 人口流动频率更加频繁
- C. 城乡经济差异不断增加
- D. 城镇化的质量不断提升

18. 克拉玛依等西部小城市落户意愿较高的直接因素是

- A. 资源丰富
- B. 环境优美
- C. 经济发达
- D. 交通便捷

中科三安无人化垂直室内农业生产系统(右图)基于无人化种植和数字生产系统管理技术,通过专用高层栽培立体库,将植物照明 LED 光源系统和营养液循环系统内置于种植架中,依托机器人、穿梭车、堆垛机等自动化设备,实现播种、分栽、采收、清洗等工序自动化。经开发验证,一套占地5 000 m²的标准系统,可规划高达20层植物生长室,每天可以产出蔬菜6~8吨,较传统栽培技术蔬菜产量提升近百倍。据此完成19~20题。



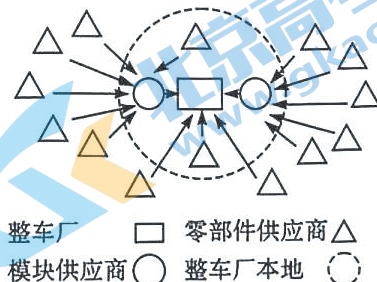
19. 中科三安无人化垂直室内农业生产系统的突出优势是

- A. 生产成本低
- B. 市场需求大
- C. 生产效益高
- D. 蔬菜品质优

20. LED 光源系统和营养液循环系统是为了

- A. 增加蔬菜的品种类型
- B. 降低棚内的温差
- C. 降低蔬菜的生产成本
- D. 提升蔬菜的品质

汽车模块化平台生产是指将汽车零部件先组装成模块,再将各模块装成整车,同一模块化架构可以共用零件,平台化可以承载不同车型的开发及制造。右面为我国佛山某知名电动汽车模块化平台生产模式图。据此完成21~22题。



21. 该电动汽车公司推出电动汽车模块化平台主要是为了

- A. 降低电动汽车单车的研发成本
- B. 减少电动汽车零部件数量
- C. 降低电动汽车产业过度集聚
- D. 扩大电动汽车企业的规模

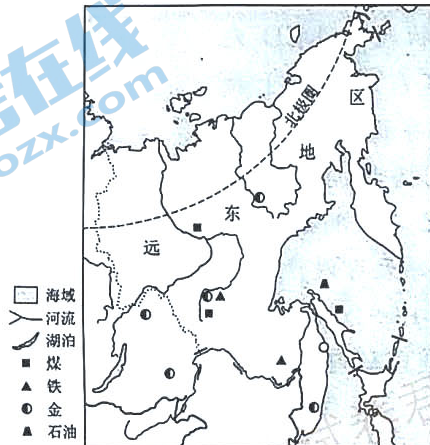
22. 模块供应商比零部件供应商距整车厂近的原因是

- A. 模块较零部件标准化程度高
- B. 模块较零部件运输难度大
- C. 模块生产需要更多的劳动力
- D. 模块较零部件质量要求更高

二、非选择题:共4小题,共56分。

23. 阅读图文材料,完成下列要求。(14分)

俄罗斯人爱吃酸黄瓜,但腌制的原材料(黄瓜)需要大量进口,这其中大部分来自中国。近些年,为实现“黄瓜自由”,俄罗斯政府通过相关政策鼓励在煤炭和油气资源丰富的远东地区大力建造智能温室,发展温室种植,吸引了大量投资者前来。经过多年努力,至2021年俄罗斯温室黄瓜在生产规模和品质、市场占有率、消费等环节均实现了大幅提升,实现了黄瓜的自给。下图示意俄罗斯远东地区位置和自然资源分布。

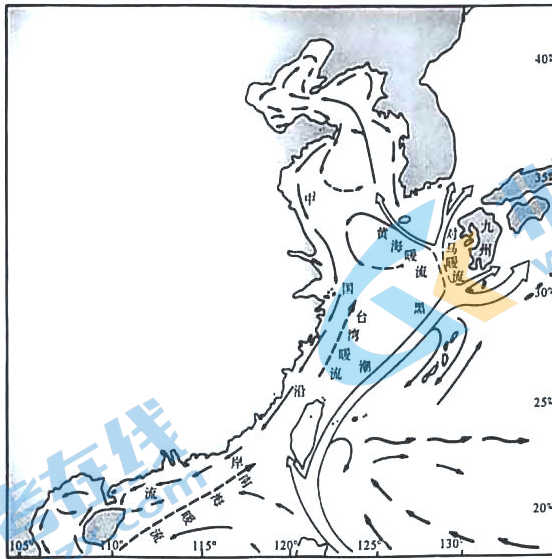


- (1)说明俄罗斯酸黄瓜原材料(黄瓜)主要从中国进口的原因。(6分)
- (2)说出俄罗斯远东地区采用温室种植技术生产黄瓜的优势所在。(4分)
- (3)阐述在俄乌冲突背景下,俄罗斯远东地区发展温室农业的意义。(4分)

24. 阅读图文材料,完成下列要求。(14分)

东海海域分布着几支著名的太平洋洋流,日本暖流(即黑潮)在我国台湾东侧回流北上至日本群岛。现代海洋科学研究发现,该暖流还有一分支即台湾暖流,在东南部巴士海峡进入台湾海峡后北上进入东海海域;而另一分支即黄海暖流,进入东海北部后,则影响到了黄海海域,其冬季势力强,夏季势力弱。我国东海海域渔业资源丰富,春夏季节东海海平面多形成平流冷却雾(暖气流受海面冷却后水汽凝结形成,夜晚频率高,白天频率低)。下面为我国东海、黄海海域洋流分布图。

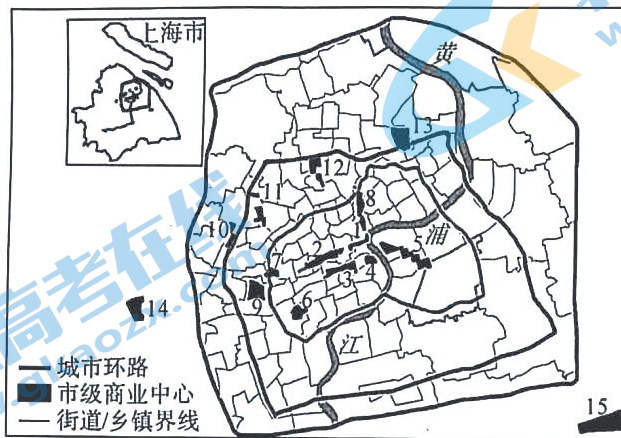
地理试题 第6页(共8页)



- (1) 指出影响东海海面平流冷却雾日变化的因素。(4分)
- (2) 描述我国东部海域洋流的性质与运动特征。(6分)
- (3) 推测我国东部海域的黄海暖流在冬季较强的原因。(4分)

25. 阅读图文材料,完成下列要求。(14分)

近年来,地铁通车对上海市市级商业中心的影响较大。随着社会发展,上海市市级商业中心需要进一步优化。下面为上海市市级商业中心分布图。

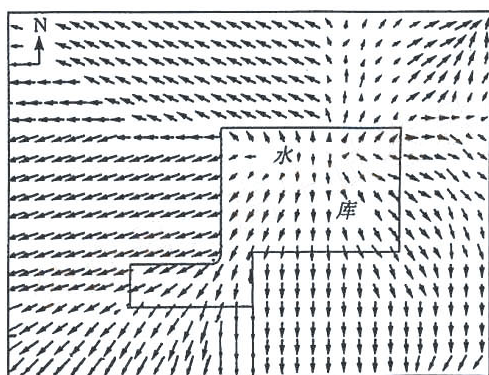


地理试题 第7页(共8页)

- (1)描述上海市市级商业中心的空间分布特征。(6分)
- (2)说明地铁通车对上海市市级商业中心发展的影响。(4分)
- (3)为上海市市级商业中心优化布局提出合理化建议。(4分)

26. 阅读图文材料,完成下列要求。(14分)

某水库位于我国西北内陆地区沙漠和绿洲的交界地带,绿洲位于水库的东北方向。沙漠和绿洲之间的背景风对湖陆风影响较大。通常情况下,该水库湖风最强出现在午后,陆风最强出现在日出前后。下图示意某日正午该水库周边近地面的盛行风向分布情况,箭头长短代表风力大小,此时水库东南部空气湿度最大。



- (1)说明此时水库东南部湿度最大的原因。(4分)
- (2)简述白天绿洲对南北岸湖陆风的影响。(4分)
- (3)从热力环流的角度分析水库对绿洲植被生长的影响。(6分)